

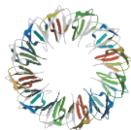
XVIII Reunión Anual de la Asociación Argentina de Cristalografía



SESIÓN DE POSTERS

MIÉRCOLES 1 DE NOVIEMBRE

N°	Título	Expositor/a
P1	SÍNTESIS Y CARACTERIZACIÓN ESTRUCTURAL DE UN COMPLEJO DE NI(II)-2-MERCAPTOPIRIDINA	A. Santarelli
P2	IBANDRONATO DE SODIO: ESTUDIOS ESTRUCTURALES Y TÉRMICOS	C. Hucailluk
P3	ESTUDIO ESTRUCTURAL Y TEÓRICO DE UNA BASE DE SCHIFF SIMÉTRICA DERIVADA DEL 2-NITROBENZALDEHÍDO	C. Merlini
P4	INTERACCIONES NO COVALENTES EN UN NUEVO DERIVADO HIDROXILADO DEL EUCALIPTOL: ESTUDIO ESTRUCTURAL Y TEÓRICO	D. Gil
P5	CRISTALES MULTICOMPONENTE DE PREGABLINA	P. Gaztañaga
P6	DERIVADOS DE TIOFENOS EN LA BÚSQUEDA DE MODELOS SIMPLIFICADOS DE HIDROGENASAS: SÍNTESIS Y CARACTERIZACIÓN ESTRUCTURAL	G. Ledesma
P7	DETERMINACIÓN DE LA DENSIDAD TEÓRICA DE GEOPOLIMEROS A PARTIR DE DRX	B. Carranza
P8	ESTUDIOS DE DIFRACCIÓN DE RAYOS X Y ESPECTROSCOPIA RAMAN EN CUENTAS DE MINERAL PROCEDENTES DE TACUIL (SALTA)	E. Freire
P9	DEFECTOS ESTRUCTURALES Y PROPIEDADES ÓPTICAS EN NANOHILOS DE ZnO	E. Heredia
P10	RETENCIÓN DE VATERITA NANOPARTICULADA A TEMPERATURA AMBIENTE	M. Gonzalez
P11	ESTUDIO AB INITIO DE POSIBLES SISTEMAS DURANTE LA ETAPA INICIAL DE LA DESHIDROXILACIÓN DE LA CAOLINITA Y MODELADO COMPUTACIONAL DE SUS PROPIEDADES	I. Polcowñuk
P12	EL COLOR DE LAS PIEZAS CERÁMICAS DEL ÁREA FUNDACIONAL DE MENDOZA (ARGENTINA). UNA RELACION ENTRE LA ARQUEOMETRÍA Y LA CRISTALOGRAFÍA.	S. Lassa
P13	CARACTERIZACIÓN DE LA ESTRUCTURA CRISTALINA DE LA SOLUCIÓN SÓLIDA $ZrO_2 - X \% \text{ MOL DE BaO}$ ($X = 2, 4, 6, 8, 10, 12, 14 \text{ Y } 16$) SINTETIZADA POR GELIFICACIÓN-COMBUSTIÓN Y CALCINADA A 700 °C	G. Silva
P14	ANÁLISIS POR DIFRACCIÓN DE RAYOS X DE PIGMENTOS APLICADOS EN ALFARERÍA PREHISPÁNICA DEL SITIO ARQUEOLÓGICO LOS TRES CERROS 2 (DEPARTAMENTO VICTORIA, ENTRE RÍOS)	S. Conconi
P15	LA CERÁMICA PREHISPÁNICA DE ESTILO MOLINOS. CARACTERIZACIÓN TECNOLÓGICA Y COMPOSICIONAL DE MUESTRAS DE ANTOFAGASTA DE LA SIERRA Y EL VALLE CALCHAQUÍ, CA. 1200-800 AP	V. Puente
P16	EFEECTO DE LA SUSTITUCIÓN CON SELENIO EN LA ESTRUCTURA Y EL COMPORTAMIENTO MAGNÉTICO Y ELÉCTRICO EN $CrxTey$	D. Franco
P17	CARACTERIZACIÓN POR TÉCNICAS DRX/SAXS DE NANOPARTÍCULAS DE PLATA PRODUCIDAS POR SÍNTESIS VERDE UTILIZANDO DESCARTES DE YERBA MATE	K. Gepner
P18	EFEECTO DE LA CANTIDAD DE CAPAS EN EL CRECIMIENTO DE PELÍCULAS DE ÓXIDO DE TITANIO MEDIANTE TÉCNICA DE INMERSIÓN (DIP COATING)	K. Sequeira
P19	CARACTERIZACION ELECTRICA DE FILMS DE $AlZnO$ OBTENIDOS POR NEBULIZACIÓN ULTRASÓNICA PIROLITICA	L. Morinigo
P20	PROPIEDADES LUMINISCENTES Y MAGNÉTICAS DE LA FAMILIA DE COMPUESTOS $La_{0,9}Ln_{0,1}In_{0,5}Ni_{0,5}O_{3-\delta}$ (Ln: Ce, Nd, Sm, Eu, Gd y Yb)	L. Pineda
P21	ESTUDIO DE LA MODULACION DEL TAMAÑO DE PARTICULA Y DE LA ESTABILIDAD ESTRUCTURAL DEL MOF-76(Y)	C. Bernini
P22	DOPAJES DE EUROPIO Y TERBIO EN REDES METAL-ORGÁNICAS PARA LA OBTENCIÓN DE MATERIALES LUMINISCENTES Y SENSORES DE MOLÉCULAS PEQUEÑAS	G. Gómez
P23	ANÁLISIS DE MATERIALES COMPUESTOS DE CELULOSA BACTERIANA Y NANOPARTICULAS DE ZnO POR XPD Y WAXS	M. Ladetto
P24	FASES CRISTALINAS DURANTE LA PRODUCCIÓN DE MULLITA A PARTIR DE CAOLÍN, ALÚMINA Y ÓXIDO DE MOLIBDENO	N. Rendtorff



XVIII Reunión Anual de la Asociación Argentina de Cristalografía



SESIÓN DE POSTERS

JUEVES 2 DE NOVIEMBRE

N°	Título	Expositor/a
P25	IDENTIFICACIÓN DE LA FASE CRISTALINA DEL MATERIAL $\text{La}_{0,75}(\text{Sr}_{0,25})\text{CrO}_3$ SINTETIZADO MEDIANTE EL MÉTODO SOL-GEL MICELAR Y CALCINADO A 800°C	G. Silva
P26	OBTENCIÓN DE PARTÍCULAS CORE-SHELL DEL SISTEMA $\text{BaTiO}_3@ \text{CoFe}_2\text{O}_4$	J. Camargo
P27	MEDICIONES HALL EN EPITAXIAS DE HgCdTe (MCT) CRECIDAS SOBRE SUSTRATOS DE CdTe	J. Nuñez
P28	$\text{La}_4\text{BaCu}_{5-z}\text{Ni}_{z/2}\text{Co}_{z/2}\text{O}_{13\pm\delta}$ (Z= 1, 2 Y 3): SÍNTESIS Y CARACTERIZACIÓN ESTRUCTURAL DE NUEVAS PEROVSKITAS CON POTENCIAL APLICACIÓN EN CELDAS DE COMBUSTIBLE DE ÓXIDO SÓLIDO	J. Téllez
P29	PROPIEDADES ESTRUCTURALES Y ELECTROQUÍMICAS DEL SISTEMA $\text{Ce}_{1-x}\text{Pr}_x\text{O}_{2-\delta}$	M. Artistizábal
P30	ESTUDIO DE LAS PROPIEDADES ÓPTICAS EN RELACIÓN CON SU ESTRUCTURA CRISTALINA DE ÓXIDOS DE Cu y Cr OBTENIDOS MEDIANTE COMBUSTIÓN	M. Gardey M.
P31	DETERMINACIÓN DE LAS TEMPERATURAS DE CALCINACIÓN Y SINTERIZADO DE CERÁMICOS PIEZOELÉCTRICOS LIBRE DE PLOMO DE COMPOSICIÓN $0,5\text{Ba}(\text{Zr}_{0,2}\text{Ti}_{0,8})\text{O}_3-0,5(\text{Ba}_{0,7}\text{Ca}_{0,3})\text{TiO}_3$	M. Difeo
P32	CARACTERIZACIÓN DE PELÍCULAS DELGADAS EN FORMA DE MULTICAPAS, DE SnO_2 Y $\text{SnO}_2\text{-Ag-SnO}_2$, USANDO DRX, SEM-EDS Y GISAXS	M. Poiasina
P33	ORTOFERRITA MULTIFERROICA $\text{GdFe}_{1-x}\text{Ni}_x\text{O}_3$: SÍNTESIS Y CARACTERIZACIÓN	M. Saleta
P34	EVOLUCIÓN DE FASES CRISTALINAS Y NO CRISTALINAS DURANTE EL HINCHAMIENTO DE AGREGADOS CERÁMICOS LIVIANOS (ACL) BASADOS EN MEZCLAS DE ARCILLAS Y ACEITE DE GIRASOL	N. Rendtorff
P35	PEROVSKITAS DE HALURO CsPbBr_3 CO-DOPADAS CON LOS IONES Eu^{3+} Y Na^+ : ANÁLISIS ESTRUCTURAL Y PROPIEDADES ÓPTICAS	V. Ponce
P36	CARACTERIZACIÓN DE LOS MATERIALES ANÓDICOS $\text{Ce}_{0,97}\text{Pd}_{0,03}\text{O}_2\text{-La}_{0,4}\text{Sr}_{0,4}\text{TiO}_3$ Y $\text{La}_{0,4}\text{Sr}_{0,4}\text{Ti}_{0,90}\text{Pd}_{0,10}\text{O}_3$ PARA CELDAS SOFC DE ALIMENTACIÓN DIRECTA DE METANO	Y. Torres
P37	PROGRESS IN THE STUDY OF THE Er-Nb PHASE DIAGRAM	C. Corvalán
P38	ESTUDIO DE LA RUGOSIDAD EN INTERFASES DE PELÍCULAS DE CIRCONIA Y ALEACIONES BASE CIRCONIO	H. Saraceni
P39	IN SITU ANALYSES OF HYDROGEN EMBRITTLEMENT OF AISI 316L STAINLESS STEEL USING SYNCHROTRON RADIATION	J. Hoyos
P40	TENSIONES RESIDUALES EN UN RECUBRIMIENTO DE TIN DEPOSITADO SOBRE UN ACERO MODIFICADO SUPERFICIALMENTE	C. Tealdi
P41	ANÁLISIS ESTRUCTURAL Y ESTUDIO DE LAS PROPIEDADES MECÁNICAS DE MATERIALES CRISTALINOS DERIVADOS DE CAFÉINA	J. Rey
P42	HIPERSUPERFICIES DE ENERGÍA DESARROLLADAS CON REDES NEURONALES PARA LA PREDICCIÓN DE ESTRUCTURAS CRISTALINAS	P. Gaztañaga
P43	CARACTERIZACIÓN ESTRUCTURAL DE DERIVADOS DEL ÁCIDO QUINURÉNICO	S. Shmidt
P44	OPTIMIZACIÓN EFICIENTE DE ESTRUCTURAS CRISTALINAS MOLECULARES UTILIZANDO ALGORITMOS GENÉTICOS: AVANCES, IMPLEMENTACIÓN Y RESULTADOS PRELIMINARES	K. Varela
P45	ANÁLISIS ESTRUCTURAL Y DE INTERACCIONES INTERMOLECULARES NO COVALENTES EN UNA SERIE DE NUEVOS DERIVADOS DE AMINOFENAZONA	M. Rocha
P46	EFFECTS OF THE BASE AND SOLVENT ON THE FORMATION OF HETEROMETALLIC SODIUM-PALLADIUM(II) COORDINATION NETWORKS WITH 2-HALONICOTINATES	M. Rodríguez
P47	DISEÑO RACIONAL DE NUEVOS MATERIALES BIOINSPIRADOS BASADOS EN XANTINAS	A. Requena